

From: **Sompop Waal** <sompoptexel@gmail.com>
To: **behandelaarzaak@texel.nl** <behandelaarzaak@texel.nl>
Subject: Re: Zaak 3104774 - Sompop 2022 - opschorten zaak
Date: 13.02.2022 11:02:48 (+0100)
Attachments: Sompop-2022-StatischeCalculatie-torens-containers.pdf (25 pages)

Goedemorgen Suzanne,

Hierbij stuur ik de gevraagde constructie berekening toe van de gestapelde containers en de LED schermen op de Layher constructie naast het hoofdpodium.

Met vriendelijke groet,

Namens de stichting Sompop,

Barry Zegel

Op vr 4 feb. 2022 om 12:32 schreef Gemeente Texel <behandelaarzaak@texel.nl>:

Gemeente Texel



Geachte heer Graaf,

Op 19 januari 2022 heb ik u een mail gezonden met het verzoek om uw aanvraag op verschillende punten aan te vullen/ toe te lichten. Ik verzoek u om de aanvraag zo spoedig mogelijk maar in ieder geval voor 26 februari 2022 aan te vullen.

Totdat de aanvraag is aangevuld, wordt de behandeling opgeschort (artikel 4:15 Algemene wet bestuursrecht). Als u de aanvraag niet, of niet tijdig aanvult, kan de burgemeester besluiten dat uw aanvraag wordt afgewezen (artikel 1:8, lid 2 en 3, APV en paragraaf 5.4 van de uitvoeringsregeling evenementen Texel), met als gevolg dat uw evenement niet kan doorgaan.

Zijn er nog vragen, dan hoor ik het graag. Veel succes bij de voorbereiding van uw evenement.

Met vriendelijke groet,

Suzanne de Vries,
Team Vergunningen
Gemeente Texel

Wilt u reageren, informatie toevoegen of documenten bekijken? Ga dan naar [uw zaak](#).

Reageert u op deze mail? Laat dan onderstaande code staan. Dan komt uw mail automatisch in uw zaak:
mzrdrefvgv7dm8f456kyz04wgb3p86ituqpc7ya2bcx6a35ferdrzm



BUSSEL ENGINEERING

Ing. M.M. van Bussel
Klipper 58
8802 NL Franeker (NL)
Tel: 0517-391797
mob. 06-53991987
michiel@busselengineering.nl

Project: Sompop 2022
Statische Berekeningen

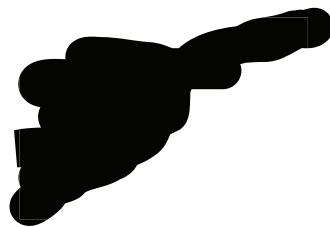
Projekt: Geluidstoren en containeropstelling

Datum: 01-02-2022

Opdrachtgever: Sompop
Yvo Witte

Opmerking Voor de opstelling geldt een windlastbeperking; boven 8 Bft (20,7 m/sec.) dient de omgeving te worden ontruimd en de geluidstoren extra gezekerd.
Ballast geluidstoren: 3300 kg
Ballast gestapelde containers: 2 x 1250 kg
Ballast losse container: 850 kg

Michiel van Bussel



Op alle advieswerkzaamheden, engineeringsopdrachten en/of tekenopdrachten en eventuele vervolgopdrachten zijn van toepassing de voorwaarden als genoemd in BUSENG/ 2019-00, alsmede de voorwaarden als opgesteld in de "Regeling van de verhouding tussen opdrachtgever en adviserend ingenieursbureau" (RVOI-2001, gedeponeerd 29/06/2001 bij de Arrondissementsrechtbank te Den Haag). Deze kan op verzoek door Bussel Engineering ter beschikking worden gesteld of worden gedownload:
<http://www.busselengineering.nl/AV/AlgemeneVoorwaarden-BusselEngineering-2019.pdf>

Inhoud

H1	Uitgangspunten, belastingen, constr. gegevens	3
H2	Calculaties	
2.1	Containers	5
2.2	Geluidstoren	8

Bijlage 1	Tekeningen
Bijlage 2	Matrixberekening toren

Toegepaste rekенsoftware:
Matrix Frame 6.10

1 Ontwerpuitgangspunten

1.1 Algemeen

Als uitgangspunt wordt toegepast de EuroCode normering.

Van toepassing zijnde normen en voorschriften in algemene zin en voorzover van toepassing:

- NEN-EN 1990+NB Eurocode Grondslagen van het constructief ontwerp
 - NEN-EN 1991+NB Eurocode 1 Belastingen op constructies
 - NEN-EN 1993+NB Eurocode 3 Ontwerp en berekening van staalconstructies
 - NEN-EN 1997+NB Eurocode 7 Geotechnisch ontwerp

1.2 Veiligheidsklasse

Gebruiksklasse: Tijdelijke constructie
Gevolgklasse: CC2

Specifiek voor de objecten van het SompopFestival:

UGT: Permanente belasting	$\gamma;f;g;$ ongunstig 1,1	UGT Permanente belasting	$\gamma;f;g;$ gunstig 0,9
UGT: Veranderlijke belasting	$\gamma;f;q$ 1,5		
UGT: Sneeuw belasting	$\gamma;f;q$ 1,5		

Belastingcombinaties in de uiterste grenstoestanden (UGT) worden aangenomen volgens art. 6.4.3 van de NEN-EN 1990.

Belastingcombinaties in de bruikbaarheidsgrenstoestanden (BGT) worden aangenomen volgens art. 6.5.3 van de NEN-EN 1990.

1.3 Belastingen

Optredende belastingen:

1.3.1 Sneeuwbelasting nvt

1.3.2 Variabele belasting nvt

1.3.3 Gewicht/ afmeting constructiedelen

Zeecontainers 20ft 6,06 x 2,44 x (h)2,59 meter

Ledig gewicht: 2030 kg

Laadgewicht 28450 kg

Layher-allround volgens specs Layher

1.3.4 Windbelasting

$v_b = 20,7 \text{ m/sec}$

$h = 6\text{m}$

$p_w = 0,42 \text{ kN/m}^2$

($C_{o1}=1; C_{fr}=0,04; C_1=0,85; C_s C_d=0,9$)

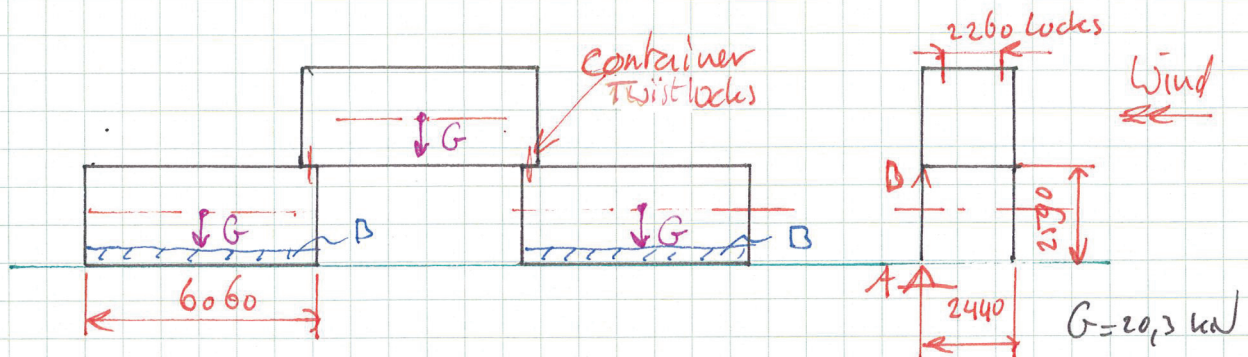
project: 2 Calculations.

date:

page: 5 of

2.1 Containers

Zie tekening bijlage 1



Oppervlakte: $47,1 \text{ m}^2 \cdot (3 \times 15,7 \text{ m}^2)$
 Taugrijphoogte wind: $(2 \times 15,7 \times 1,3) + (15,7 \times 3,19) = 47,1 \times 1,6$
 $h_a = 2,16 \text{ m.}$

$c_p = 1,3 \quad (\text{druh: } 0,8 \quad \text{zuiging: } 0,5)$

$P_w = 0,42 \text{ kN/m}^2 \cdot (6 \text{ m})$

Kantelmoment ter t:

$M_{rep} = P_w \cdot A \cdot c_p \cdot h_a = 0,42 \times 47,1 \times 1,3 \times 2,16 = 55,5 \text{ kNm}$

$M_{ed} = \gamma_g \times M_{rep} = 1,5 \times 55,5 = 83,3 \text{ kNm.}$

Weerstandsmoment ter t (kantelen)

$M_{q,rep} = (G + B) \times 1,22 \quad M_{q,ed} = \gamma_g \times M_{q,rep} = 0,9 \times M_{q,rep}$

$M_{q,ed} \geq 83,3 \text{ kNm} \quad (3 \times 20,3 + B) \times 1,22 \times 0,9 \geq 83,3$

$B \geq 15 \text{ kN}$

Zie ook § 2.1.3.

212 Bevestiging containerverlode

Hoeekpunten: Twistlocks

Uit Germanische Lloyd: Rules for Classification and Construction
Ship technology
Ch. 20 - Storage and Lashing Containers.

Twistlock trekbelaarting: SWL - 250 kN

Check:

Kantelen om "B"

$$Med_B = 1,5 \times 0,42 \times 15,7 \times 1,3 \times 1,3 = 16,7 \text{ kNm}$$

$$F_{ed, \text{loch}} = \frac{16,7}{2,26} = 7,4 \text{ kN/2 lochs} \rightarrow \text{Voldoet ruim}$$

213 Verschuiven

Dwarskracht:

$$F_{ed} = 0,42 \times 47,1 \times 1,3 \times 1,5 = 38,6 \text{ kN}$$

$$f = 0,5 \text{ (zand/staal)}$$

$$\text{Vooraande: } (G + \text{Ballast}) \times 0,5 \times 0,9 \geq 38,6$$

$$G = 3 \times 20,3 = 60,9 \text{ kN}$$

$$(60,9 + \text{Ballast}) \times 0,45 \geq 38,6 \quad \text{Ballast} \geq 24,9 \text{ kN}$$

Ballast per container: $\geq 1250 \text{ kg}$.



2.2 Losse container

$$G = 20,3 \text{ kN}$$

$$\text{Windbelasting: } M_{ed} = 0,42 \times 15,7 \times 1,3 \times 1,3 \times 1,1 = 16,7 \text{ kNm}$$

$$F_{ed} < 0,42 \times 15,7 \times 1,3 \times 1,3 = 12,9 \text{ kN}$$

Weerstand tegen hanteren

$$(20,3 + \text{Ballast}) \times 1,22 \times 0,9 \geq 16,7 \quad \text{Ballast} = -5 \text{ kN} \rightarrow \text{eigen gewicht voldoet}$$

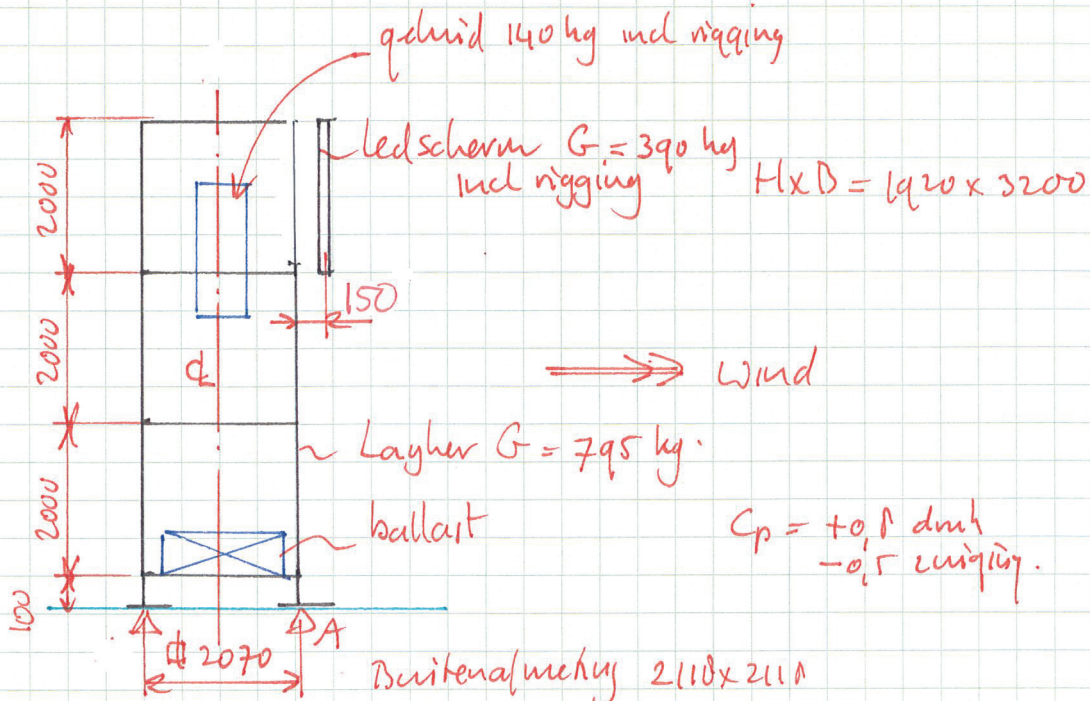
Weerstand tegen verschuiven

$$(20,3 + \text{Ballast}) \times 0,5 \times 0,9 \geq 12,9 \quad \text{Ballast} \geq 8,4 \text{ kN (840 kg)}$$

Ballast in container: $\geq 850 \text{ kg}$

2.2 Geluidstoren

2.2.1 Stabiliteit



Rondom windbrekergoot; doorkrat 20%.
Ledscheren te beschouwen als ondoordringbaar

Aangegeven windrichting bepalend.

Kantelmoment voor A:

$$\begin{aligned} M_{rep(A)} &= p_w \cdot A \cdot C_p \cdot h_2 \\ &= 0,42 \times 2,12 \times 4 \times 1,3 \times 2,1 \times 0,8 \\ &\quad + 0,42 \times 1,92 \times 3,2 \times 1,3 \times 5,1 \\ &= 24,9 \text{ kNm} \end{aligned}$$

$$M_{red(A)} = 1,5 \times 24,9 = 37,3 \text{ kNm.}$$

Weerstandsmoment voor A

$$\begin{aligned} M_{red} &\geq 40,2 & 0,9 \times (\text{Ballast} + G_{\text{Layher}} + G_{\text{geluid}}) \times 1,035 \\ &- 1,1 \times 3,9 \times 0,15 & \geq 37,3 \\ &0,9 \times 1,035 (\text{Ballast} + 7,95 + 1,4) - 0,64 & \geq 37,3 \\ &\text{Ballast} \geq 31,4 \text{ kN} \quad (3,2 \text{ ton}) \end{aligned}$$

Fundering

Toelaatbare gronddruk: 60 kN/m^2 *

Max belasting bij windbelasting γ_{Bft} (bvr A): $15 \text{ kN}/\text{poort}$

Drukverdelerende plaat aan te brengen: $\geq 0,5 \times 0,5 \text{ m}$

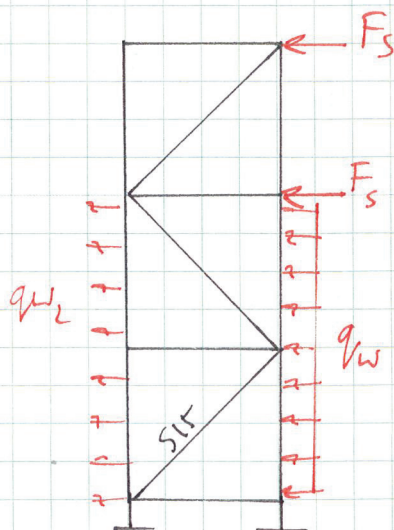
(voldoende diepte/sterkte)

* geldt voor klei/zand grond.

checken op locatie, anders grondverbeterende maatregelen noodzakelijk.

2.2.1 Sterkte

2de bijlage 2, Matrixberekening.



F_s : belasting lichtscherp

$$= (0,42 \times 1,92 \times 3,4 \times 1,5) / 4 = 0,89 \text{ kN}$$

q_w : windbelasting

$$q_{w1} = 0,42 \times 0,8 \times 2,12 / 2 = 0,36 \text{ kN/m}$$

$$q_{w2} = 0,42 \times 0,5 \times 2,12 / 2 = 0,22 \text{ kN/m}$$

Schoor § 15 maatgevend (trek/druk) $N_{ed} = 7,19 \text{ kN}$

Layher K2000+ toegestane rozetbelasting $N_{rrd} = 17,9 \text{ kN}$

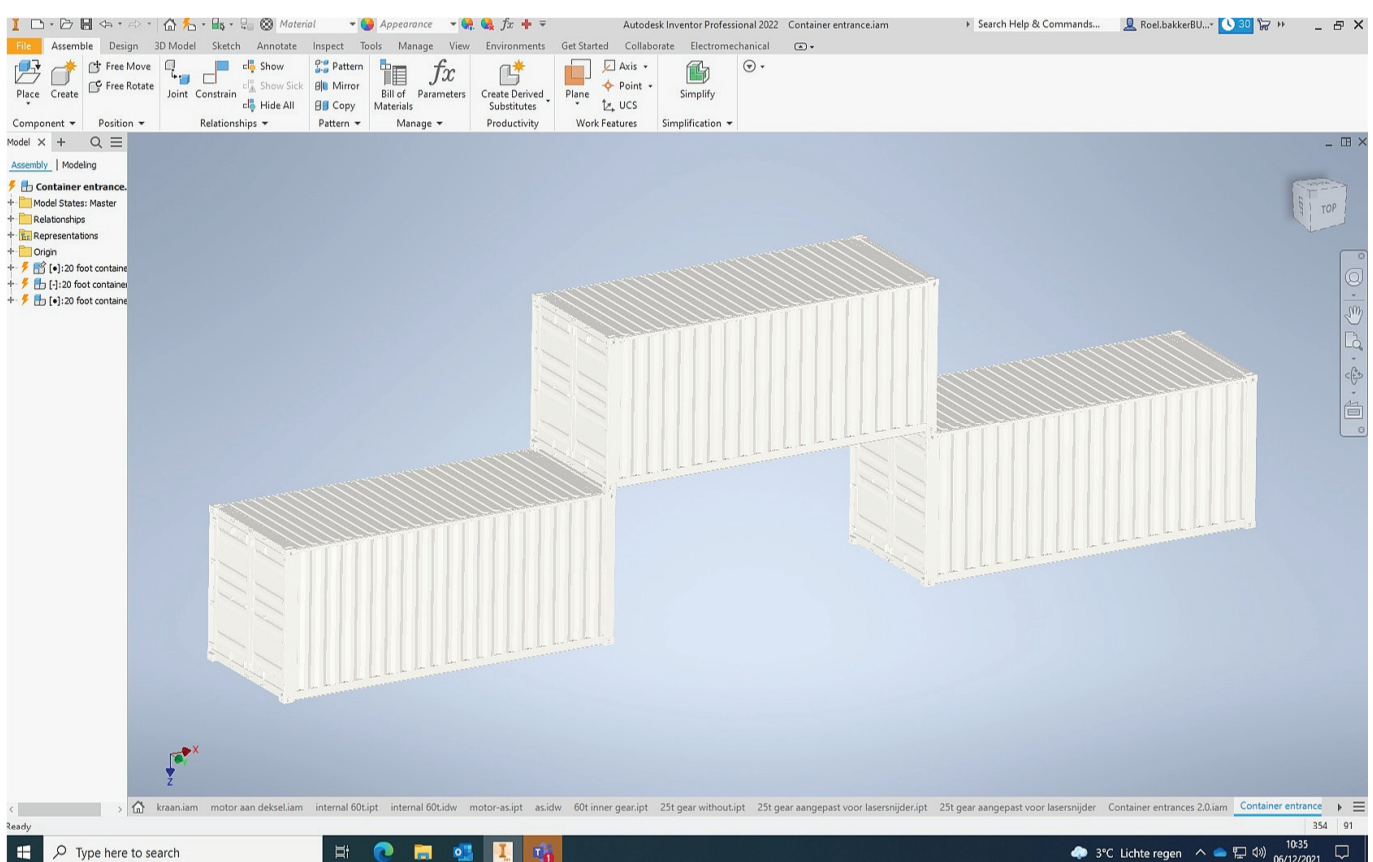
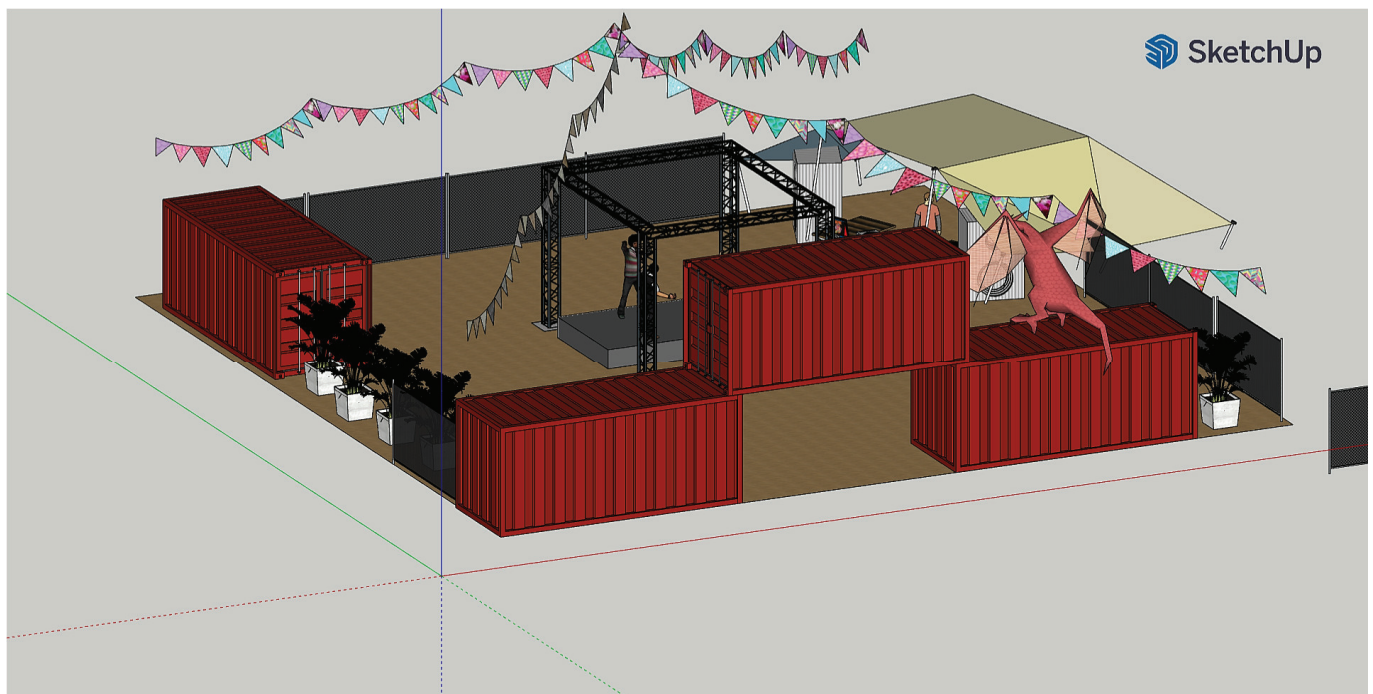
$UC = 0,42 \rightarrow \text{voldoet}$

Spindelbelasting: $F_{vd} = 32,1 \text{ kN}$ (minimaal)

$$UC = \frac{15}{32,1} = 0,47 \rightarrow \text{voldoet}$$



BIJLAGE 1

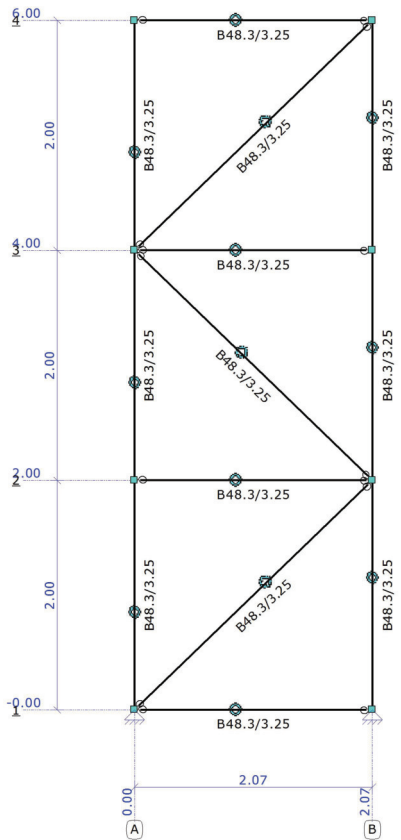




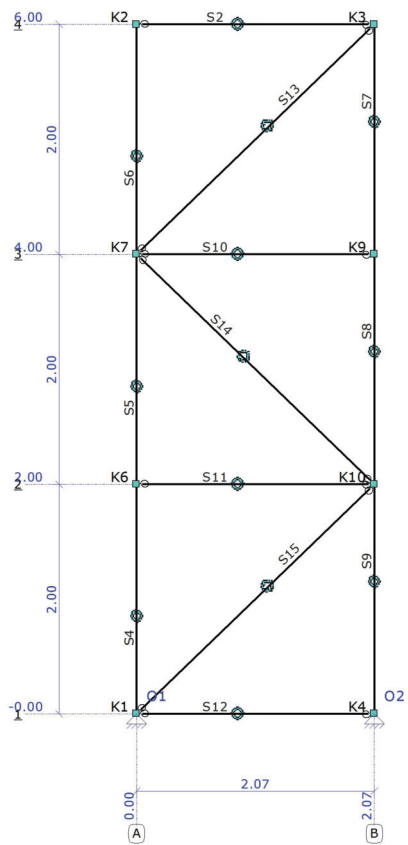
BIJLAGE 2

Projectnaam	Sompop 2022	Projectnummer	SP-001C
Omschrijving		Constructeur	Ing. M.M. v Bussel
Opdrachtgever	Y.Witte	Eenheden	m, kN, kNm
Bestand	C:\Users\Bussel Engineering\Desktop\Actueel\Sompop\SP-001C.mxf		

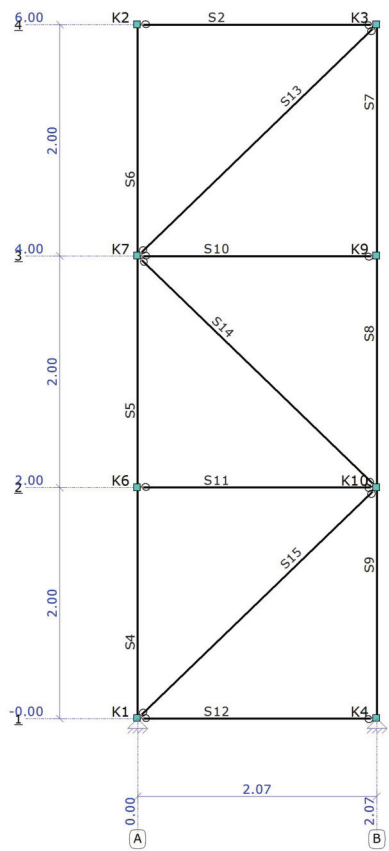
AFB. GEOMETRIE LIGGER



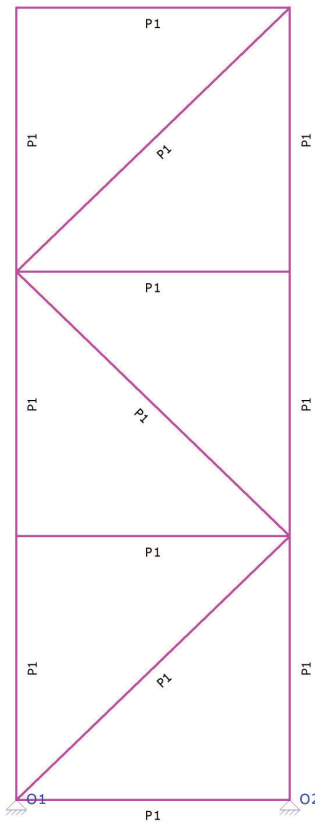
AFB. GEOMETRIE RAAMWERK



AFB. GEOMETRIE 1 STAVEN EN KNOOPEN



AFB. GEOMETRIE 2 STAVEN EN KNOOPEN



STAVEN

Staaf	Knoop B	Knoop E	X-B	Z-B	X-E	Z-E	Lengte Profiel	Positie
S2	K2	K3	0,000	-6,000	2,070	-6,000	2,070 P1	0,000 - L(2,070)
S4	K1	K6	0,000	0,000	0,000	-2,000	2,000 P1	0,000 - L(2,000)
S5	K6	K7	0,000	-2,000	0,000	-4,000	2,000 P1	0,000 - L(2,000)
S6	K7	K2	0,000	-4,000	0,000	-6,000	2,000 P1	0,000 - L(2,000)
S7	K3	K9	2,070	-6,000	2,070	-4,000	2,000 P1	0,000 - L(2,000)
S8	K9	K10	2,070	-4,000	2,070	-2,000	2,000 P1	0,000 - L(2,000)
S9	K10	K4	2,070	-2,000	2,070	0,000	2,000 P1	0,000 - L(2,000)
S10	K7	K9	0,000	-4,000	2,070	-4,000	2,070 P1	0,000 - L(2,070)
S11	K6	K10	0,000	-2,000	2,070	-2,000	2,070 P1	0,000 - L(2,070)
S12	K1	K4	0,000	0,000	2,070	0,000	2,070 P1	0,000 - L(2,070)
S13	K3	K7	2,070	-6,000	0,000	-4,000	2,878 P1	0,000 - L(2,878)
S14	K7	K10	0,000	-4,000	2,070	-2,000	2,878 P1	0,000 - L(2,878)
S15	K10	K1	2,070	-2,000	0,000	0,000	2,878 P1	0,000 - L(2,878)
-	-	-	m	m	m	m	m	-

PROFIELEN

Profiel	Profielnaam	Oppervlakte	Iy Materiaal	Hoek
P1	B48.3/3.25	4.5997e-04	1.1730e-07 S355NH/NLH(EN 10219-1)	0,0
-	-	m ²	m ⁴	°

MATERIALEN

Materiaal	Dichtheid	E-Modulus	Uitzettingcoeff
S355NH/NLH(EN10219-1)	78.50 kN/m ³	2.1000e+08 kN/m ²	12.0000e-06 C°m
-	-	-	-

--	--	--

SCHARNIEREN

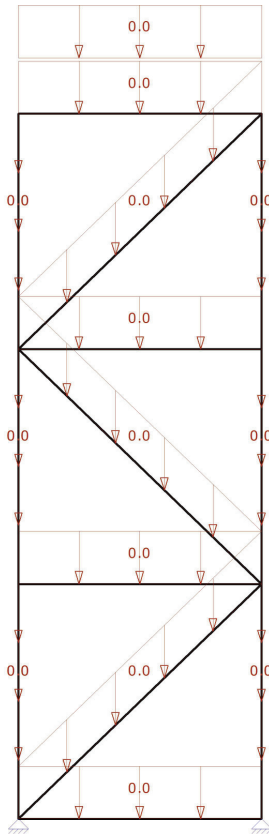
Staaf	Positie Oplegg.	Scharnier			Yr
		X	Z		
S10	0,000 A2	Vast	Vast	20.00	
	L(2,070) A2	Vast	Vast	20.00	
S11	0,000 A2	Vast	Vast	20.00	
	L(2,070) A2	Vast	Vast	20.00	
S12	0,000 A2	Vast	Vast	20.00	
	L(2,070) A2	Vast	Vast	20.00	
S13	0,000 A2	Vast	Vast	20.00	
	L(2,878) A2	Vast	Vast	20.00	
S14	0,000 A2	Vast	Vast	20.00	
	L(2,878) A2	Vast	Vast	20.00	
S15	0,000 A2	Vast	Vast	20.00	
	L(2,878) A2	Vast	Vast	20.00	
S2	0,000 A2	Vast	Vast	20.00	
	L(2,070) A2	Vast	Vast	20.00	
S4	0,000 A1	Vast	Vast	Vast	
	L(2,000) A1	Vast	Vast	Vast	
S5	0,000 A1	Vast	Vast	Vast	
	L(2,000) A1	Vast	Vast	Vast	
S6	0,000 A1	Vast	Vast	Vast	
	L(2,000) A1	Vast	Vast	Vast	
S7	0,000 A1	Vast	Vast	Vast	
	L(2,000) A1	Vast	Vast	Vast	
S8	0,000 A1	Vast	Vast	Vast	
	L(2,000) A1	Vast	Vast	Vast	
S9	0,000 A1	Vast	Vast	Vast	
	L(2,000) A1	Vast	Vast	Vast	
-	m -		kN/m	kN/m	kNm/rad

OPLEGGINGEN

Oplegging	Object	Positie	X	Z	Yr	HoekYr
O1	K1	0,000	Vast	Vast	Vrij	0
O2	K4	0,000	Vast	Vast	Vrij	0
-	-	m	kN/m	kN/m	kNm/rad	°

--	--	--

B.G.1: PERMANENTE BELASTING

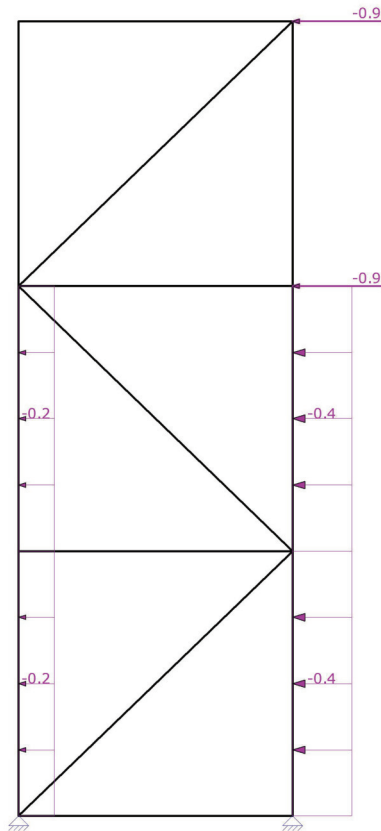


B.G.1: PERMANENTE BELASTING

Type	Beginwaarde	Eindwaarde	Beginafstand	Eindafstand	Richting Staaf of knoop
B.G.1: Permanente Belasting					
qG	0,04 (1.00x)	0,04 (1.00x)	0,000	2,070(L)	Z" S2
qG	0,04 (1.00x)	0,04 (1.00x)	0,000	2,000(L)	Z" S4-S9
qG	0,04 (1.00x)	0,04 (1.00x)	0,000	2,070(L)	Z" S2,S10-S12
qG	0,04 (1.00x)	0,04 (1.00x)	0,000	2,000(L)	Z" S4-S9
qG	0,04 (1.00x)	0,04 (1.00x)	0,000	2,878(L)	Z" S13-S15
Som lasten	X: 0,00	KN Z: 1,55	kN		
-	-	-	m	m	--

--	--	--

B.G.2: WINDBELASTING VAN LINKS



B.G.2: WINDBELASTING VAN LINKS

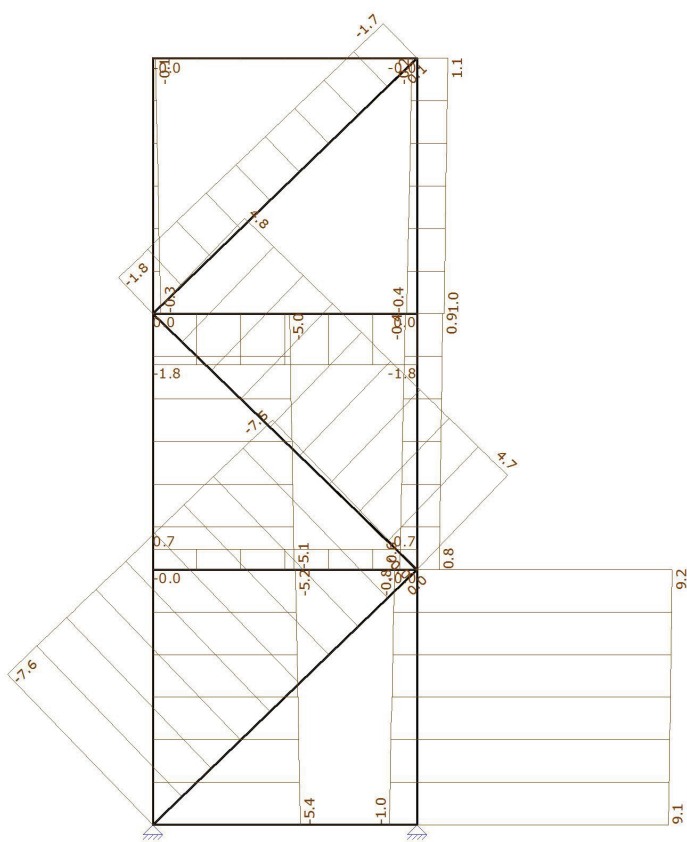
Type	Beginwaarde	Eindwaarde	Beginafstand	Eindafstand	Richting	Staaf of knoop
B.G.2: Windbelasting van links						
N	-0,89					X K3,K9
q	-0,36	-0,36	0,000	2,000(L)		X S8-S9
q	-0,22	-0,22	0,000	2,000(L)		X S4-S5
Som lasten	X: -4,10	kN Z: 0,00	kN			
-	-	-	m	m		--

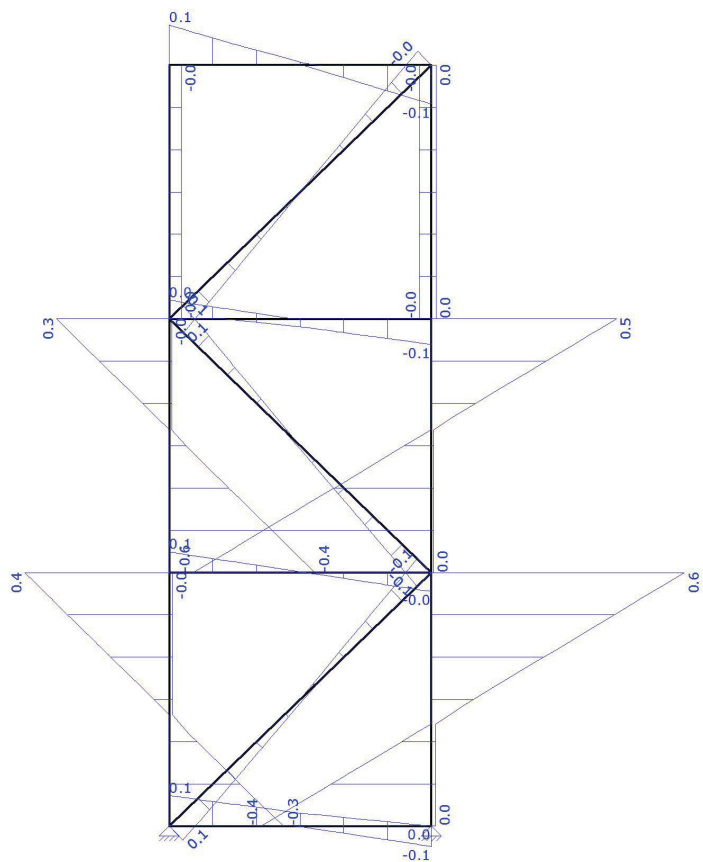
FUNDAMENTEEL BELASTINGSCOMBINATIES (TABEL)

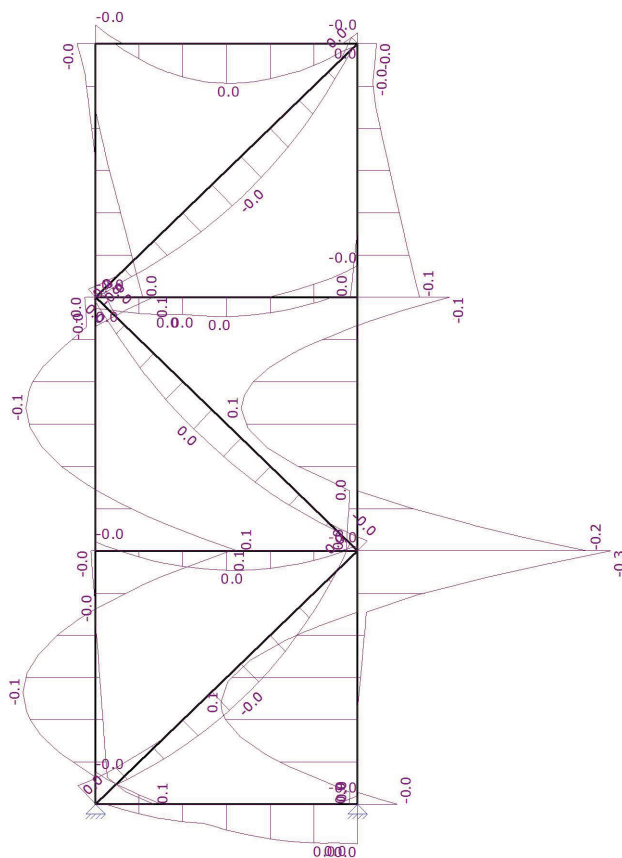
B.G.	Omschrijving	Fu.C.1	Fu.C.2	Fu.C.3	Fu.C.4
B.G.1	Permanente Belasting	1.20	0.90	1.35	0.90
B.G.2	Windbelasting van links	1.50	1.50	-	-

ANALYSE INSTELLINGEN

Lineaire Elastische Analyse uitgevoerd







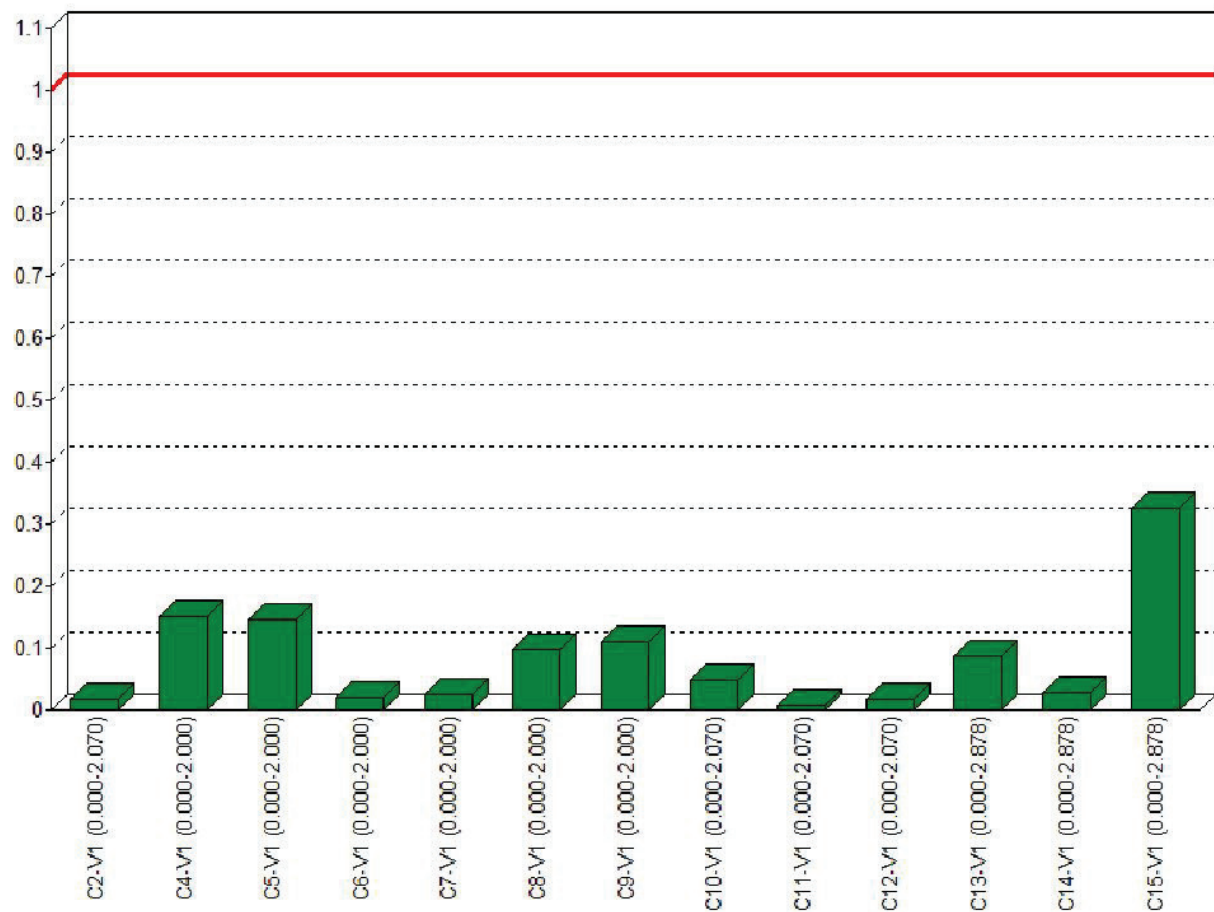
UNITY CHECK NEN-EN1993-1-1:2016/NB:2016

Veld	Toetsing	Combinatie	Artikel	UC max
C2-V1 (0.000-2.070)	Doorsnede	Fu.C.3	NEN-EN1993-1-1(NB.33)	0,02
C2-V1 (0.000-2.070)	Stabiliteit	Fu.C.3	NEN-EN1993-1-1(6.46)	0,00
C2-V1 (0.000-2.070)	Stabiliteit	Fu.C.3	NEN-EN1993-1-1(6.46)	0,00
C2-V1 (0.000-2.070)	Stabiliteit	Fu.C.3	NEN-EN1993-1-1(6.61&6.62)	0,02
C2-V1 (0.000-2.070)	Kiptoetsing	Fu.C.4	NEN-EN1993-1-1(6.54)	0,00
C4-V1 (0.000-2.000)	Doorsnede	Fu.C.2	NEN-EN1993-1-1(NB.33)	0,06
C4-V1 (0.000-2.000)	Stabiliteit	Fu.C.1	NEN-EN1993-1-1(6.46)	0,12
C4-V1 (0.000-2.000)	Stabiliteit	Fu.C.1	NEN-EN1993-1-1(6.46)	0,12
C4-V1 (0.000-2.000)	Stabiliteit	Fu.C.1	NEN-EN1993-1-1(6.61&6.62)	0,15
C4-V1 (0.000-2.000)	Kiptoetsing	Fu.C.4	NEN-EN1993-1-1(6.54)	0,00
C5-V1 (0.000-2.000)	Doorsnede	Fu.C.1	NEN-EN1993-1-1(NB.33)	0,06
C5-V1 (0.000-2.000)	Stabiliteit	Fu.C.1	NEN-EN1993-1-1(6.46)	0,11
C5-V1 (0.000-2.000)	Stabiliteit	Fu.C.1	NEN-EN1993-1-1(6.46)	0,11
C5-V1 (0.000-2.000)	Stabiliteit	Fu.C.1	NEN-EN1993-1-1(6.61&6.62)	0,15
C5-V1 (0.000-2.000)	Kiptoetsing	Fu.C.4	NEN-EN1993-1-1(6.54)	0,00
C6-V1 (0.000-2.000)	Doorsnede	Fu.C.1	NEN-EN1993-1-1(NB.33)	0,02
C6-V1 (0.000-2.000)	Stabiliteit	Fu.C.1	NEN-EN1993-1-1(6.46)	0,01
C6-V1 (0.000-2.000)	Stabiliteit	Fu.C.1	NEN-EN1993-1-1(6.46)	0,01
C6-V1 (0.000-2.000)	Stabiliteit	Fu.C.1	NEN-EN1993-1-1(6.61&6.62)	0,02
C6-V1 (0.000-2.000)	Kiptoetsing	Fu.C.4	NEN-EN1993-1-1(6.54)	0,00
C7-V1 (0.000-2.000)	Doorsnede	Fu.C.2	NEN-EN1993-1-1(NB.33)	0,03
C7-V1 (0.000-2.000)	Stabiliteit	Fu.C.3	NEN-EN1993-1-1(6.46)	0,01
C7-V1 (0.000-2.000)	Stabiliteit	Fu.C.3	NEN-EN1993-1-1(6.46)	0,01

--	--	--

Veld	Toetsing	Combinatie	Artikel	UC max
C7-V1 (0.000-2.000)	Stabiliteit	Fu.C.3	NEN-EN1993-1-1(6.61&6.62)	0,01
C7-V1 (0.000-2.000)	Kiptoetsing	Fu.C.4	NEN-EN1993-1-1(6.54)	0,00
C8-V1 (0.000-2.000)	Doorsnede	Fu.C.2	NEN-EN1993-1-1(NB.33)	0,10
C8-V1 (0.000-2.000)	Stabiliteit	Fu.C.3	NEN-EN1993-1-1(6.46)	0,01
C8-V1 (0.000-2.000)	Stabiliteit	Fu.C.3	NEN-EN1993-1-1(6.46)	0,01
C8-V1 (0.000-2.000)	Stabiliteit	Fu.C.3	NEN-EN1993-1-1(6.61&6.62)	0,02
C8-V1 (0.000-2.000)	Kiptoetsing	Fu.C.4	NEN-EN1993-1-1(6.54)	0,00
C9-V1 (0.000-2.000)	Doorsnede	Fu.C.1	NEN-EN1993-1-1(NB.33)	0,11
C9-V1 (0.000-2.000)	Stabiliteit	Fu.C.3	NEN-EN1993-1-1(6.46)	0,02
C9-V1 (0.000-2.000)	Stabiliteit	Fu.C.3	NEN-EN1993-1-1(6.46)	0,02
C9-V1 (0.000-2.000)	Stabiliteit	Fu.C.3	NEN-EN1993-1-1(6.61&6.62)	0,02
C9-V1 (0.000-2.000)	Kiptoetsing	Fu.C.4	NEN-EN1993-1-1(6.54)	0,00
C10-V1 (0.000-2.070)	Doorsnede	Fu.C.1	NEN-EN1993-1-1(NB.33)	0,01
C10-V1 (0.000-2.070)	Stabiliteit	Fu.C.1	NEN-EN1993-1-1(6.46)	0,04
C10-V1 (0.000-2.070)	Stabiliteit	Fu.C.1	NEN-EN1993-1-1(6.46)	0,04
C10-V1 (0.000-2.070)	Stabiliteit	Fu.C.1	NEN-EN1993-1-1(6.61&6.62)	0,05
C10-V1 (0.000-2.070)	Kiptoetsing	Fu.C.4	NEN-EN1993-1-1(6.54)	0,00
C11-V1 (0.000-2.070)	Doorsnede	Fu.C.3	NEN-EN1993-1-1(NB.33)	0,01
C11-V1 (0.000-2.070)	Stabiliteit	Fu.C.3	NEN-EN1993-1-1(6.46)	0,00
C11-V1 (0.000-2.070)	Stabiliteit	Fu.C.3	NEN-EN1993-1-1(6.61&6.62)	0,01
C11-V1 (0.000-2.070)	Kiptoetsing	Fu.C.4	NEN-EN1993-1-1(6.54)	0,00
C12-V1 (0.000-2.070)	Doorsnede	Fu.C.2	NEN-EN1993-1-1(6.12)	0,02
C12-V1 (0.000-2.070)	Kiptoetsing	Fu.C.4	NEN-EN1993-1-1(6.54)	0,00
C13-V1 (0.000-2.878)	Doorsnede	Fu.C.1	NEN-EN1993-1-1(NB.33)	0,01
C13-V1 (0.000-2.878)	Stabiliteit	Fu.C.1	NEN-EN1993-1-1(6.46)	0,08
C13-V1 (0.000-2.878)	Stabiliteit	Fu.C.1	NEN-EN1993-1-1(6.46)	0,08
C13-V1 (0.000-2.878)	Stabiliteit	Fu.C.1	NEN-EN1993-1-1(6.61&6.62)	0,09
C13-V1 (0.000-2.878)	Kiptoetsing	Fu.C.4	NEN-EN1993-1-1(6.54)	0,00
C14-V1 (0.000-2.878)	Doorsnede	Fu.C.1	NEN-EN1993-1-1(6.5)	0,03
C14-V1 (0.000-2.878)	Stabiliteit	Fu.C.3	NEN-EN1993-1-1(6.46)	0,00
C14-V1 (0.000-2.878)	Stabiliteit	Fu.C.3	NEN-EN1993-1-1(6.46)	0,00
C14-V1 (0.000-2.878)	Stabiliteit	Fu.C.3	NEN-EN1993-1-1(6.61&6.62)	0,01
C14-V1 (0.000-2.878)	Kiptoetsing	Fu.C.4	NEN-EN1993-1-1(6.54)	0,00
C15-V1 (0.000-2.878)	Doorsnede	Fu.C.1	NEN-EN1993-1-1(6.9)	0,05
C15-V1 (0.000-2.878)	Stabiliteit	Fu.C.1	NEN-EN1993-1-1(6.46)	0,32
C15-V1 (0.000-2.878)	Stabiliteit	Fu.C.1	NEN-EN1993-1-1(6.46)	0,32
C15-V1 (0.000-2.878)	Stabiliteit	Fu.C.1	NEN-EN1993-1-1(6.61&6.62)	0,32
C15-V1 (0.000-2.878)	Kiptoetsing	Fu.C.4	NEN-EN1993-1-1(6.54)	0,00

AFB. STAAL UC DIAGRAM



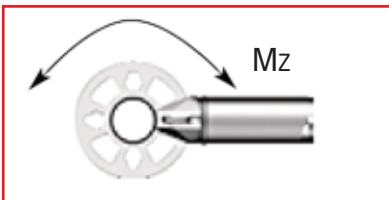
Knooppunt- en rozetbelasting

Variant II

K 2000+

Lightweight

Torsiekraakt om de staander

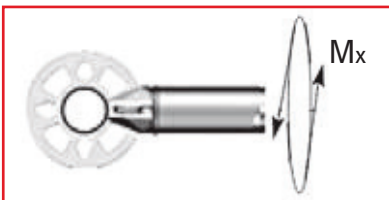


$$M_{z,Rd} = \pm 37,2 \text{ kNm}$$

$$M_{z,Rd} = \pm 37,2 \text{ kNm}$$

$$M_{z,Rd} = \pm 40,1 \text{ kNm}$$

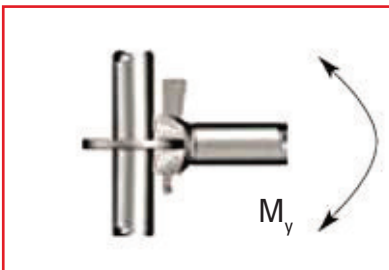
Torsiekraakt om de as van de ligger



$$M_{x,Rd} = \pm 52,9 \text{ kNm}$$

$$M_{x,Rd} = \pm 52,5 \text{ kNm}$$

Hoekstijfheid



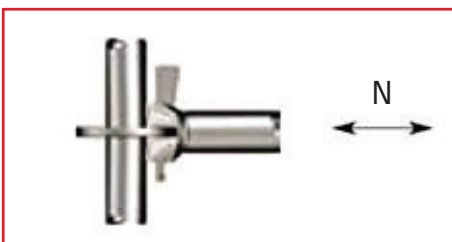
Buigmoment

$$M_{y,Rd} = \pm 68,0 \text{ kNm}$$

$$M_{y,Rd} = \pm 101,0 \text{ kNm}$$

$$M_{y,Rd} = \pm 120,0 \text{ kNm}$$

Normaalkraakt

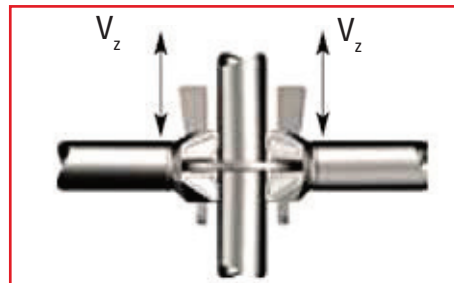


$$N_{Rd} = \pm 22,7 \text{ kN} \text{ (Buisligger)}$$

$$N_{Rd} = \pm 31,0 \text{ kN} \text{ (Buisligger)}$$

$$N_{Rd} = \pm 35,1 \text{ kN} \text{ (Buisligger)}$$

Verticale dwarskraakt



Verticale dwarskraakt enkele aansluiting

$$V_{z,Rd} = \pm 17,4 \text{ kN} \quad V_{z,Rd} = \pm 26,4 \text{ kN}$$

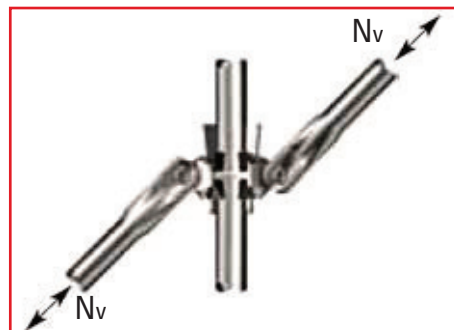
$$V_{z,Rd} = \pm 31,7 \text{ kN}$$

Verticale dwarskraakt rozetaansluiting

$$\sum V_{z,Rd} = \pm 69,5 \text{ kN} \quad \sum V_{z,Rd} = \pm 105,6 \text{ kN}$$

$$\sum V_{z,Rd} = \pm 117,0 \text{ kN}$$

Diagonaalkraakt

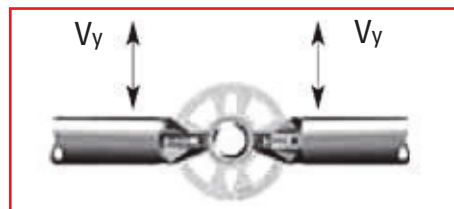


$$N_{v,Rd} = \pm 8,4 \text{ kN} \quad \text{Zie voor de gespecificeerde gebruiksbelastingen}$$

$$N_{v,Rd} = \pm 17,9 \text{ kN}$$

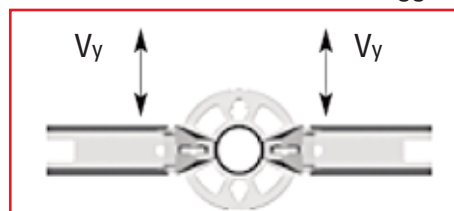
$$N_{v,Rd} = \pm 17,9 \text{ kN}$$

Horizontale dwarskraakt (Buisligger)



$$V_{y,Rd} = \pm 6,7 \text{ kN} \quad V_{y,Rd} = \pm 10,0 \text{ kN} \quad V_{y,Rd} = \pm 16,6 \text{ kN}$$

Horizontale dwarskraakt (U-ligger)



$$V_{y,Rd} = \pm 5,9 \text{ kN} \quad V_{y,Rd} = \pm 5,9 \text{ kN} \quad V_{y,Rd} = \pm 16,6 \text{ kN}$$